

ο τελεστής μετατόπισης να εφαρμόζεται πρώτος, τότε
 για να πάρουμε την ίδια κατάσταση με την αρχική ο
 τελεστής μετατόπισης δε θα πρέπει να μετατοπίσει
 την κατάσταση κενού κατά a , αλλά θα πρέπει να την
 μετατοπίσει κατά $\beta = a \cosh r + a^* e^{i\theta} \sinh r$. Τονίζουμε
 εδώ ότι οι δύο ορισμοί για τις squeezed coherent
 states, $\hat{S}(\zeta) \hat{D}(a) |0\rangle$ και $\hat{D}(a) \hat{S}(\zeta) |0\rangle$, δίνουν ίδια α-
 ποτελέσματα για το squeezing [δηλαδή και με τους
 δύο ορισμούς καταλήγουμε στις εγ. (126) και (127)]
 αλλά βρίσκουμε διαφορετικές τιμές για τα $\langle \hat{a} \rangle$, $\langle \hat{a}^2 \rangle =$
 $\langle \hat{a}^{+2} \rangle$, $\langle \hat{a}^+ \hat{a} \rangle$ που δίνονται στην εγ. (123) (επιβεβαι-
 ώστε το).

- Χρονικά εξαρτημένη θεωρία διαταραχών

Μέχρι τώρα είδαμε με ποιον τρόπο μπορούμε να αντιμετω-
 πίσουμε το H/M πεδίο στην περίπτωση της κοιλότητας

αλλά και του ελεύθερου χώρου. Επίσης, μελετήσαμε το
H/M πεδίο χημειορωτώντας τρία διαφορετικά σύνολα
καταστάσεων, τις number states, τις coherent states
(σύμφωνες καταστάσεις) και τις squeezed states (συμπιε-
σμένες καταστάσεις), έτσι ώστε να έχουμε τη δυνατό-
τητα να περιγράψουμε το πεδίο μας με το βέλτιστο
τρόπο, ανάλογα με την περίπτωση.

Όπως, η Κβαντική Οπτική μελετάει την αλληλε-
ύλη με το φως. Η μελέτη του φωτός και η κβάντω-
σή του ήταν ένα σημαντικό βήμα, αλλά τώρα πρέπει
να προχωρήσουμε περαιτέρω και να εκμεταλλευτούμε
τη μελέτη που κάναμε για το H/M πεδίο έτσι ώστε
να εξηγήσουμε πώς αυτό επηρεάζει την ύλη. Μιας και
η Κβαντική Οπτική ασχολείται με την αλληλε-
ύλη σε μικροσκοπικό επίπεδο, και συγκεκριμένα στην
κλίμακα του νανομέτρου, με την έννοια ύλη θα εννο-
ούμε τα μόρια ή άτομα και τα άτομα που την αποτελούν

Παρ' όλα αυτά, τα άτομα και τα μόρια της φύσης έχουν
 συγκεκριμένες ιδιώτητες και καθορισμένα ενεργειακά
 επίπεδα. Ερείς, για την καλύτερη και ακριβέστερη με-
 λέτη των φαινομένων, χρειαζόμαστε όσο το δυνατόν
 απλούστερα συστήματα στα οποία να μπορούμε να επι-
 δράσουμε με Η/Μ ακτινοβολία και οι συνθήκες να εί-
 ναι τέτοιες ώστε να μελετάμε ένα φαινόμενο κάθε
 φορά (π.χ. αν μελετήσουμε την αλληλεπίδραση ενός φυσικού
 μορίου με Η/Μ πεδίο θα έχουμε την ανάδειξη διάφορων
 φαινομένων όπως διεγερση, αυθόρμητη και εξαναγκασμέ-
 νη εκπομπή, ταλάντωση και περιστροφή των ατόμων
 που αποτελούν το μόριο κ.α.). Έτσι λοιπόν, είναι σύ-
 νηθες να χρησιμοποιούμε "τεχνητά άτομα", τα οποία τα
 έχουμε κατασκευάσει στο εργαστήριο και έτσι έχουν
 τις επιθυμητές ιδιώτητες για το εκάστοτε πείραμα ή
 μελέτη που θέλουμε να κάνουμε. Αυτά τα "τεχνητά

όσορα, είναι ουσιαστικά κβαντικοί εκπομπείς (quantum emitters) οι οποίοι είναι κατασκευασμένοι με τέτοιον τρόπο ώστε να απορροφούν και να εκπέμπουν ακτινοβολία σε κάποιο καθορισμένο από εμάς μήκος κύματος. Ο συνηθέστερος κβαντικός εκπομπέας που χρησιμοποιείται στον τομέα της Κβαντικής Οπτικής, αλλά και σε εκείνον της Κβαντικής Πληροφορίας, είναι ο εκπομπέας δύο ενεργειακών επιπέδων, όπου έχει επικρατήσει να ονομάζεται qubit (η ονομασία αυτή χρησιμοποιείται ευρέως στην Κβαντική Πληροφορία).

Σε όλες τις περιπτώσεις που θα εξετάσουμε εδώ (αλλά και γενικά σε πολλές περιπτώσεις στην Κβαντική Οπτική) θα θεωρήσουμε ασθενή αλίσση του κβαντικού εκπομπού με το ΗΜ πεδίο έτσι ώστε να μπορούμε να αντιμετωπίσουμε την αλίσση αυτή ως μία διαταραχή. Πριν δούμε λοιπόν πώς μπορούμε να μοντελο-

ποιήσουμε και να αντιμετωπίσουμε την αλίση του κβα-
ντικού μας εκπομπού με το Η/Μ πεδίο, θα θυρήσουμε
τη χρονοεξαρτημένη θεωρία διαταραχών.

Για τη χρονοεξαρτημένη θεωρία διαταραχών ξεκινάμε
από τη χρονοεξαρτημένη εξίσωση Schrödinger

$$i\hbar \frac{\partial}{\partial t} \psi(\vec{r}, t) = H(\vec{r}, t) \psi(\vec{r}, t) \quad (131)$$

Επειδή στην προκειμένη περίπτωση δε μας ενδιαφέρει
η εξάρτηση της Χαμιλτονιανής και της κυματοσυνάρτη-
σης από το χώρο θα γράφουμε όπως $H(\vec{r}, t) \rightarrow H(t)$ και
 $\psi(\vec{r}, t) \rightarrow \psi(t)$. Όσο αναφορά τώρα τη Χαμιλτονιανή, προ-
σούμε να τη γράψουμε ως άθροισμα δύο όρων,

$$H(t) = H^{(0)} + H^{(1)}(t) \quad (132)$$

Ο πρώτος όρος, $H^{(0)}$, είναι η αδιατάραχτη Χαμιλτονιανή
του συστήματός μας, η οποία περιγράφει το αδιατάραχτο

συστήρα. Για το απομονωμένο αδιατάραχτο σύστημα γνωρίζουμε τις λύσεις της χρονικά ανεξάρτητης εξίσωσης Schrödinger, οι οποίες θα δίνονται από τη σχέση

$$H^{(0)} \psi_n = E_n \psi_n \quad (133)$$

όπου ψ_n και E_n οι ιδιοσυναρτήσεις και οι ιδιοενέργειες αντίστοιχα της αδιατάραχτης Χαμιλτονιανής. Ο δεύτερος όρος,

$H^{(1)}(t)$ είναι στην ουσία η διαταραχή η οποία προκύπτει από την αλληλεπίδραση του συστήματός μας με το H/U πεδίο.

Τώρα, στην περίπτωση όπου $H^{(1)}(t) = 0$ η εξ. (131) γίνεται

$$i\hbar \frac{\partial}{\partial t} y(t) = H^{(0)} y(t) \quad (134)$$

Στη συνέχεια, θεωρήστε ότι μπορούμε να γράψουμε την κυματοσυνάρτηση $y(t)$ ως $y(t) = \psi_n T(t)$, δηλαδή να τη γράψουμε ως ένα γινόμενο μιας χρονικής συνάρτησης $T(t)$ και της ιδιοσυνάρτησης ψ_n της $H^{(0)}$ (η επιλογή μας δι-

και υποθέτουμε από το γεγονός ότι για $H^{(1)}(t) = 0$ έχουμε μόνο την αδιατάραχτη χαμιλτονιανή). Τότε, θα έχουμε

$$(134) \Rightarrow i\hbar \frac{dT(t)}{dt} \psi_n = T(t) H^{(0)} \psi_n \quad (133) \Rightarrow$$

$$\Rightarrow i\hbar \frac{dT(t)}{dt} \psi_n = T(t) E_n \psi_n \Rightarrow i\hbar \frac{dT(t)}{dt} = T(t) E_n \Rightarrow$$

$$\Rightarrow \frac{dT(t)}{dt} = -\frac{i}{\hbar} E_n T(t) \Rightarrow$$

$$\Rightarrow T(t) = T(0) e^{-iE_n t/\hbar} \quad (135)$$

Επομένως θα έχουμε ότι

$$\psi(t) = \psi_n T(0) e^{-iE_n t/\hbar} \quad (136)$$

η οποία αποτελεί μια ειδική λύση της εξ. (134). Η γενική λύση της εξίσωσης αυτής θα γραφτεί (για να είμαστε ακριβείς γράφουμε και την εξάρτηση από τη θέση).

$$\psi(\vec{r}, t) = \sum_n a_n \psi_n(\vec{r}) e^{-iE_n t/\hbar} \quad (137)$$

δηλαδή η γενική λύση γράφεται ως ένας γραμμικός συνδυασμός των ειδικών λύσεων. Προφανώς, στην παραπάνω έκφραση ο σταθερός όρος $T(t)$ περιέχεται στις σταθερές a_n .

Η έως τώρα ανάλυσή μας είχε να κάνει με την περίπτωση του απορροπτικού συστήματός μας μιας και είχαμε θεωρήσει ότι $H^{(1)}(t) = 0$. Με άλλα λόγια, η εξ. (136) μας λέει πως εξελίσσονται στο χρόνο οι αδιατάρακτες ιδιοσυναρτήσεις του συστήματός μας. Στη συνέχεια της ανάλυσής μας, υποθέτουμε ότι $H^{(1)}(t) \neq 0$. Για την περίπτωση αυτή υποθέτουμε ότι η λύση της χρονοεξαρτημένης εξίσωσης Schrödinger έχει την ίδια μορφή με αυτή της εξ. (137), αλλά με χρονικά εξαρτημένα πλάτη πιθανότητας $a_n(t)$,

δηλαδή

$$\psi(t) = \sum_n a_n(t) \psi_n e^{-iE_n t/\hbar} \quad (138)$$

Ανακαθιστώντας στη χρονοεξαρτημένη εξίσωση Schrödinger, βρίσκουμε ότι

(50)

$$i\hbar \frac{\partial \psi(t)}{\partial t} = [H^{(0)} + H^{(1)}(t)] \psi(t) \Rightarrow$$

$$\Rightarrow i\hbar \sum_n \dot{a}_n(t) \psi_n e^{-iE_n t/\hbar} + i\hbar \sum_n a_n(t) \cancel{\psi_n} \frac{-iE_n}{\hbar} e^{-iE_n t/\hbar} =$$

$$= \sum_n a_n(t) \underbrace{H^{(0)} \psi_n}_{= E_n \psi_n} e^{-iE_n t/\hbar} + \sum_n a_n(t) H^{(1)}(t) \psi_n e^{-iE_n t/\hbar} \Rightarrow$$

$$\Rightarrow i\hbar \sum_n \dot{a}_n(t) \psi_n e^{-iE_n t/\hbar} = \sum_n a_n(t) H^{(1)}(t) \psi_n e^{-iE_n t/\hbar}$$

Πολλαπλασιάζοντας την παραπάνω εξίσωση από αριστερά με ψ_m^* και ολοκληρώνοντας σε όλο το χώρο, παίρνουμε

$$i\hbar \int d^3\vec{r} \psi_m^* \sum_n \dot{a}_n(t) \psi_n e^{-iE_n t/\hbar} = \int d^3\vec{r} \psi_m^* \sum_n a_n(t) H^{(1)} \psi_n e^{-iE_n t/\hbar}$$

$$\Rightarrow i\hbar \sum_n \left[\int d^3\vec{r} \psi_m^* \psi_n \right] \dot{a}_n(t) e^{-iE_n t/\hbar} = \sum_n \left[\int d^3\vec{r} \psi_m^* H^{(1)}(t) \psi_n \right] a_n(t) e^{-iE_n t/\hbar}$$

Από την ορθογωνιότητα των ιδιοσυναρτήσεων του αδιατάραχτου συστήματος, δηλαδή από το γεγονός ότι ισχύει

$$\int d^3\vec{r} \psi_m^* \psi_n = \delta_{nm}, \text{ προκύπτει ότι}$$

$$i\hbar \dot{a}_m(t) e^{-iE_m t/\hbar} = \sum_n H_{mn}^{(1)}(t) a_n(t) e^{-iE_n t/\hbar} \quad (139)$$

όπου θέσαμε (γράφουμε και πάλι την εξάρτηση από τη θέση)

$$H_{mn}^{(1)}(t) = \int d^3\vec{r} \psi_m^*(\vec{r}) H^{(1)}(\vec{r}, t) \psi_n(\vec{r}) \quad (140)$$

Από την εξ. (139) προκύπτει ότι

$$\dot{a}_m(t) = -\frac{i}{\hbar} \sum_n H_{mn}^{(1)}(t) a_n(t) e^{-i(E_n - E_m)t/\hbar} \quad \begin{matrix} m \leftrightarrow n \\ \Rightarrow \end{matrix}$$

$$\Rightarrow \dot{a}_n(t) = -\frac{i}{\hbar} \sum_m H_{nm}^{(1)}(t) a_m(t) e^{i\omega_{nm}t} \quad (141)$$

όπου ορίσαμε την κυκλική συχνότητα $\omega_{nm} = \frac{E_n - E_m}{\hbar}$.

Σημειώστε ότι η εξ. (141) είναι ακριβής μιας και δεν έχουμε κάνει καμία προσέγγιση έως τώρα. Όμως, η επίλυσή της είναι πολύ δύσκολη και στην πράξη θα είναι αριθμητική (παρατηρείστε π.χ. ότι έχει, εν γένει, άπειρους όρους λόγω του αθροίσματος). Επομένως, έχουμε ουσιαστικά ένα σύστημα διαφορικών εξισώσεων με, εν γένει, άπειρους ό-

ρους, που το λύνουμε αριθμητικά κρατώντας ένα μεγάλο αριθμό από αυτούς τους όρους.

Τι μπορούμε να κάνουμε, όμως, αν θέλουμε να λύσουμε την εξ (141) αναλυτικά; Στην περίπτωση αυτή θα χρησιμοποιήσουμε τη χρονικά εξαρτημένη θεωρία διαταραχών, η οποία είναι μια προσεγγιστική μέθοδος και αναλύεται απέναντι παρακάτω.

Θεωρείστε ότι για $t=0$ το σύστημά μας βρίσκεται σε μια συγκεκριμένη ιδιοκατάσταση ψ_i (ιδιοκατάσταση του αδιατάραχου συστήματος για $t=0$). Στην περίπτωση αυτή θα είναι $a_i(t=0) = 1$ και $a_{n+i}(t=0) = 0$, ενώ για $t \neq 0$ η χρονική εξέλιξη των συντελεστών $a_n(t)$ (πλάτη πιθανότητας) θα υπολογίζεται με τη βοήθεια της εξ. (141). Αν τώρα, το σύστημά μας μεταβαίνει από μια αρχική κατάσταση i σε μια τελική κατάσταση f , η οποία έχει κυμασυνάρτηση ψ_f , και στο σύστημά μας έχει εφαρμοστεί ασθενής διαταραχή, τότε τα

πλάτος πιθανότητας θα παραμείνουν κοντά στις αρχικές τιμές και τότε μπορούμε να προσεγγίσουμε την εξ. (141) ως

$$\dot{a}_f(t) \approx -\frac{i}{\hbar} \cdot H_{fi}^{(1)}(t) e^{i\omega_{fi}t} \Rightarrow$$

$$\Rightarrow a_f(t) \approx -\frac{i}{\hbar} \int_0^t H_{fi}^{(1)}(t') e^{i\omega_{fi}t'} dt' \quad (142)$$

Η παραπάνω εξίσωση είναι η αναλυτική έκφραση για το πλάτος πιθανότητας μετάβασης από την κατάσταση i στην κατάσταση f στη χρονικά εξαρτημένη θεωρία διαταραχών πρώτης τάξης. Η πιθανότητα λοιπόν, να βρεθούμε στην κατάσταση f σε χρόνο t θα είναι

$$P_f(t) = |a_f(t)|^2 \quad (143)$$

Στη συνέχεια, θα δούμε κάποια παραδείγματα εφαρμογών της χρονικά εξαρτημένης θεωρίας διαταραχών πρώτης τάξης στην Κβαντική Οπτική.

Παράδειγμα 1:

Θεωρείστε σωμάτιο μάζας m και φορτίου q το οποίο βρίσκεται εντός δυναμικού μονοδιάστατου αρμονικού ταλαντωτή κυκλικής συχνότητας ω . Θεωρούμε επιπλέον ότι τη χρονική στιγμή $t=0$ το σωμάτιο βρίσκεται στην θεμελιώδη κατάσταση του αρμονικού ταλαντωτή. Τώρα, στο σύστημα αυτό εφαρμόζουμε διαταραχή για $t \neq 0$ της μορφής

$$H^{(1)}(t) = -q \cdot x \cdot E_0 \cdot e^{-t/\tau} \quad (144)$$

με $\tau > 0$ και $E_0 = \text{σταθ.}$

Για την περίπτωση αυτή ζητάμε να βρούμε την πιθανότητα το σύστημα μας να βρεθεί στην πρώτη διεγερμένη κατάσταση σε χρόνους $t \geq 0$, και στην συνέχεια να ελέγχουμε το αποτέλεσμα μας στο όριο όπου $t \rightarrow \infty$. Στο όριο αυτό ($t \rightarrow \infty$) το αποτέλεσμα μας θα είναι πάντα

ανεξάρτητα του χρόνου και για το λόγο αυτό η κατάσταση αυτή ονομάζεται *steady state*. Στην συνέχεια, ζητάμε να επαναληφθεί η διαδικασία έτσι ώστε να βρούμε την πιθανότητα το σύστημα να βρεθεί στην δεύτερη διεγερμένη κατάσταση.

Θα έχουμε λοιπόν για την μετάβαση από την θεμελιώδη κατάσταση ($n=0$) στην πρώτη διεγερμένη ($n=1$), σύμφωνα με τα παραπάνω, ότι

$$a_1(t) \approx -\frac{i}{\hbar} \int_0^t H_{10}^{(1)}(t') e^{i\omega_{10}t'} dt'$$

όπου $\omega_{10} = \frac{E_1 - E_0}{\hbar}$. Μιας και για τον αρμονικό ταλαντωτή

γνωρίζουμε ότι $E_n = \hbar\omega \left(n + \frac{1}{2}\right)$, θα είναι $E_0 = \frac{1}{2} \hbar\omega$ και

$E_1 = \frac{3}{2} \hbar\omega$, οπότε $\omega_{10} = \omega$. Έτσι λοιπόν, η παραπάνω εξί-

σωση γράφεται

$$a_1(t) \approx -\frac{i}{\hbar} \int_0^t H_{10}^{(1)}(t) e^{i\omega t'} dt' \quad (145)$$

όπου, χρησιμοποιώντας και την εξ. (140), θα είναι

$$H_{10}^{(1)}(t) = \int_{-\infty}^{+\infty} dx \psi_1^*(x) H^{(1)}(t) \psi_0(x) \quad (144) \Rightarrow$$

$$\Rightarrow H_{10}^{(1)}(t) = \int_{-\infty}^{+\infty} dx \psi_1^*(x) [-q x \epsilon_0 e^{-t/\tau}] \psi_0(x) \Rightarrow$$

$$\Rightarrow H_{10}^{(1)}(t) = -q \epsilon_0 e^{-t/\tau} \int_{-\infty}^{+\infty} x \psi_1^*(x) \psi_0(x) dx$$

Όπως, για τον αρμονικό ταλαντωτή θεωρούμε ότι οι κυματοσυναρτήσεις της θεμελιώδους και της πρώτης διεγερμένης στάθμης θα είναι $\psi_0(x) = \left(\frac{a}{\pi}\right)^{1/4} e^{-ax^2/2}$ και

$$\psi_1(x) = \left(\frac{a}{4\pi}\right)^{1/4} 2\sqrt{a} \cdot x \cdot e^{-ax^2/2} \quad \text{αντίστοιχα, όπου } a = \frac{m\omega}{\hbar}.$$

Ορίζοντας ως χ_{10} το ολοκλήρωμα της παραπάνω εξίσωσης, παίρνουμε ότι

$$\chi_{10} = \int_{-\infty}^{+\infty} x \psi_1^*(x) \psi_0(x) dx \Rightarrow$$

$$\Rightarrow \chi_{10} = \int_{-\infty}^{+\infty} x \left(\frac{a}{4\pi}\right)^{1/4} \left(\frac{a}{\pi}\right)^{1/4} 2\sqrt{a} \cdot x \cdot e^{-ax^2} dx \Rightarrow$$

$$\Rightarrow \chi_{10} = \left(\frac{a}{\pi}\right)^{1/4} \left(\frac{a}{4\pi}\right)^{1/4} 2\sqrt{a} \int_{-\infty}^{+\infty} x^2 e^{-ax^2} dx$$

Το ολοκλήρωμα που εμφανίζεται παραπάνω είναι της μορφής $\int_{-\infty}^{+\infty} x^{2n} e^{-\lambda x^2} dx = \frac{(2n-1)!}{(2\lambda)^n} \sqrt{\frac{\pi}{\lambda}}$ με $\lambda > 0$ και $n=1,2,\dots$

Οπότε θα είναι

$$\chi_{10} = \left(\frac{a^2}{4\pi^2}\right)^{1/4} 2\sqrt{a} \cdot \frac{1}{2a} \sqrt{\frac{\pi}{a}} = \sqrt{\frac{a}{2\pi}} \cdot \frac{1}{\sqrt{a}} \sqrt{\frac{\pi}{a}} \Rightarrow$$

$$\Rightarrow \chi_{10} = \frac{1}{\sqrt{2a}}$$

Αντικαθιστώντας τελικά στην εξίσωση για το $H_{10}^{(1)}(t)$ παίρνουμε ότι

$$H_{10}^{(1)}(t) = -\frac{1}{\sqrt{2a}} q \varepsilon_0 e^{-t/\tau} \quad (146)$$

Αντικαθιστώντας στην συνέχεια στην εξ. (146) στην εξ.

(145), βρίσκουμε ότι

$$a_1(t) = -\frac{i}{h} \left(\frac{-q\varepsilon_0}{\sqrt{2a}}\right) \int_0^t e^{(i\omega - \frac{1}{\tau})t'} dt' \Rightarrow$$

$$\Rightarrow a_1(t) = \frac{i q \mathcal{E}_0}{\hbar \sqrt{2a}} \left. \frac{e^{(i\omega - \frac{1}{2})t'}}{i\omega - \frac{1}{2}} \right|_0^t \Rightarrow$$

$$\Rightarrow a_1(t) = \frac{i q \mathcal{E}_0}{\hbar \sqrt{2a}} \frac{1}{i\omega - \frac{1}{2}} [e^{(i\omega - \frac{1}{2})t} - 1] \quad (147)$$

Έχοντας υπολογίσει το συντελεστή $a_1(t)$ είναι πλέον πολύ εύκολο να υπολογίσουμε το πλάτος πιθανότητας για την πρώτη διεγερμένη κατάσταση. Χρησιμοποιώντας τις εξ. (143) και (147) βρίσκουμε ότι

$$(142) \Rightarrow P_1(t) = |a_1(t)|^2 = a_1(t) \cdot a_1^*(t) \stackrel{(147)}{\Rightarrow}$$

$$\Rightarrow P_1(t) = \frac{q^2 \mathcal{E}_0^2}{\hbar^2 2a} \frac{1}{\omega^2 + \frac{1}{2^2}} [e^{(i\omega - \frac{1}{2})t} - 1] [e^{(-i\omega - \frac{1}{2})t} - 1] \Rightarrow$$

$$\Rightarrow P_1(t) = \frac{q^2 \mathcal{E}_0^2}{\hbar^2 2a} \frac{1}{\omega^2 + \frac{1}{2^2}} [e^{-2t/2} + 1 - e^{(i\omega - \frac{1}{2})t} - e^{(-i\omega - \frac{1}{2})t}] \Rightarrow$$

$$\Rightarrow P_1(t) = \frac{q^2 \mathcal{E}_0^2}{\hbar^2 2a} \frac{1}{\omega^2 + \frac{1}{2^2}} [1 + e^{-2t/2} - e^{-t/2} \underbrace{(e^{i\omega t} + e^{-i\omega t})}_{= 2 \cos(\omega t)}] \quad \begin{matrix} a = m\omega/\hbar \\ \Rightarrow \end{matrix}$$

$$\Rightarrow P_1(t) = \frac{q^2 \mathcal{E}_0^2}{2m\omega\hbar} \frac{1}{\omega^2 + \frac{1}{2^2}} [1 + e^{-2t/2} + 2e^{-t/2} \cos(\omega t)] \quad (148)$$

Η εξ. (148) είναι η ζητούμενη, μιας και μας δίνει την πιθανότητα το σωμάτιό μας, το οποίο βρίσκεται εντός δυναμικού μηχανικού αρμονικού ταλαντωτή, να βρεθεί στην πρώτη διεγερμένη κατάσταση σε κάποια χρονική στιγμή t . Για την περίπτωση όπου $t \rightarrow \infty$ θα είναι $e^{-t/\tau} \rightarrow 0$, καθώς και $e^{-2t/\tau} \rightarrow 0$, οπότε από την εξ. (148) παίρνουμε ότι

$$P_1(t \rightarrow \infty) = \frac{q^2 \varepsilon_0^2}{2m\omega\hbar} \frac{z^2}{\omega^2 z^2 + 1} \quad (149)$$

Η παραπάνω εξίσωση μας λέει ουσιαστικά ότι η πιθανότητα να βρούμε το σωμάτιό μας στην πρώτη διεγερμένη κατάσταση ακόμα και μετά την πάροδο πολύ μεγάλου χρονικού διαστήματος είναι μη-μηδενική.

Τώρα, για την περίπτωση όπου έχουμε μετάβαση από τη θεμελιώδη ($n=0$) στην δεύτερη διεγερμένη κατάσταση ($n=2$) θα έχουμε, κατ' αντιστοιχία με πριν, ότι

$$a_2(t) \approx -\frac{i}{\hbar} \int_0^t H_{20}^{(1)}(t') e^{2i\omega t'} dt' \quad (150)$$

αφού $\omega_{20} = \frac{E_2 - E_0}{\hbar} = \frac{\frac{5}{2}\hbar\omega - \frac{1}{2}\hbar\omega}{\hbar} = 2\omega$. Επιπλέον, για το

στοιχείο $H_{20}^{(1)}(t)$ θα έχουμε

$$H_{20}^{(1)}(t) = \int_{-\infty}^{+\infty} dx \psi_2^*(x) H^{(1)}(t) \psi_0(x) = \int_{-\infty}^{+\infty} \psi_2^*(x) [-q \varepsilon_0 x e^{-t/\tau}] \psi_0(x) dx \Rightarrow$$

$$\Rightarrow H_{20}^{(1)}(t) = -q \varepsilon_0 e^{-t/\tau} \chi_{20}$$

όπου $\chi_{20} = \int_{-\infty}^{+\infty} x \cdot \psi_2^*(x) \psi_0(x) dx = \int_{-\infty}^{+\infty} x \cdot \psi_2(x) \cdot \psi_0(x) dx$, μιας και σε γεν

περίπτωσης μας τα $\psi_n(x)$ είναι πραγματικές συναρτήσεις

$$[\psi_n(x) = \frac{1}{\sqrt{2^n n!}} \left(\frac{a}{\pi}\right)^{1/4} e^{-ax^2/2} H_n(\sqrt{a}x), \text{ όπου } H_n(z) = (-1)^n e^{z^2} \frac{d^n}{dz^n} (e^{-z^2})]$$

είναι τα πολυώνυμα Hermite]. Προκύπτει όμως ότι

$\chi_{20} = 0$ διότι οι $\psi_0(x)$ και $\psi_2(x)$ είναι άρτιες συναρτήσεις

που σημαίνει ότι η ποσότητα $x \psi_2(x) \psi_0(x) (= \chi_{20})$ είναι

περιττή συνάρτηση και επειδή ολοκληρώνουμε περιττή

συνάρτηση σε συμμετρικό διάστημα (από $-\infty$ έως $+\infty$)

προκύπτει μηδενικό αποτέλεσμα. Έτσι λοιπόν, προκύπτει ότι $H_{20}^{(4)}(t) = 0$ και από την εξ. (150) έχουμε ότι $a_2(t) = 0$. Επομένως, βρίσκουμε

$$P_2(t) = |a_2(t)|^2 = 0 \quad (151)$$

το οποίο σημαίνει ότι ανεξαρτήτως χρόνου, η πιθανότητα να βρούμε το σωρατίδιο μας στη δεύτερη διεγερμένη στάθμη ισούται με μηδέν. Θυμίζουμε ότι η ανάλυση έγινε για διαταραχή πρώτης τάξης.

Παράδειγμα 2:

Σαν ένα δεύτερο παράδειγμα θεωρούμε σωράτιο μάζας m και φορτίου q το οποίο βρίσκεται σε απερόβαθρο κυβικό κουτί δυναμικού που περιγράφεται από την εξίσωση

$$V(x, y, z) = \begin{cases} 0, & \text{για } x, y, z \in (0, L) \\ \infty, & \text{για } x, y, z \notin (0, L) \end{cases}$$

Για $t > 0$ στο σωράτιο εφαρμόζεται διαταραχή της μορφής

$$H^{(1)}(z) = -qz \epsilon_0 e^{-t/\tau} \quad (152)$$

Θεωρώντας ότι το σωρότιο βρίσκεται στην θερελιώδη του κατάσταση για $t=0$, ζητάμε να βρούμε την πιθανότητα να έχουμε μετάβαση στην πρώτη διεγερμένη κατάσταση του συστήματος για μεγάλους χρόνους ($t \rightarrow \infty$).

Ξεκινάμε υπενθυμίζοντας ότι για το απερόβαθρο τετραγωνικό πηγάδι δυναμικού τριών διαστάσεων, το σωρότιο περιγράφεται από τις κυματοσυναρτήσεις

$$\Psi_{n_x, n_y, n_z}(x, y, z) = \left(\frac{2}{L}\right)^{3/2} \sin\left(\frac{n_x \pi x}{L}\right) \sin\left(\frac{n_y \pi y}{L}\right) \sin\left(\frac{n_z \pi z}{L}\right) \quad (153)$$

ενώ οι ενέργειες που αντιστοιχούν στην κάθε ενεργειακή στάθμη του συστήματός μας είναι

$$E_{n_x, n_y, n_z} = \frac{\hbar^2 \pi^2}{2mL^2} (n_x^2 + n_y^2 + n_z^2) \quad (154)$$

Για τη θερελιώδη κατάσταση λοιπών, θα έχουμε $n_x =$

$n_x = n_y = n_z = 1$ και έτσι από τις εξ. (153) και (154) παίρνου-

με αντίστοιχα $\Psi_{1,1,1}(x,y,z) = \left(\frac{2}{L}\right)^{3/2} \sin\left(\frac{\pi x}{L}\right) \sin\left(\frac{\pi y}{L}\right) \sin\left(\frac{\pi z}{L}\right)$

και $E_{1,1,1} = \frac{3\hbar^2 \pi^2}{2mL^2}$. Για την πρώτη διεγερμένη κατά-

σταση θα έχουμε τριπλό εκφυλισμό μιας και τρεις

διαφορετικοί συνδυασμοί των n_x, n_y, n_z μας δίνουν ίδια

ενέργεια ($E_{2,1,1} = E_{1,2,1} = E_{1,1,2} = \frac{3\hbar^2 \pi^2}{mL^2}$), αλλά από τους

συνδυασμούς αυτούς προκύπτουν τρεις διαφορετικές κυμα-

τοσυναρτήσεις οι οποίες περιγράφουν την πρώτη διεγερμέ-

νη κατάσταση

$$\Psi_{2,1,1}(x,y,z) = \left(\frac{2}{L}\right)^{2/3} \sin\left(\frac{2\pi x}{L}\right) \sin\left(\frac{\pi y}{L}\right) \sin\left(\frac{\pi z}{L}\right) \quad (155a)$$

$$\Psi_{1,2,1}(x,y,z) = \left(\frac{2}{L}\right)^{2/3} \sin\left(\frac{\pi x}{L}\right) \sin\left(\frac{2\pi y}{L}\right) \sin\left(\frac{\pi z}{L}\right) \quad (155b)$$

$$\Psi_{1,1,2}(x,y,z) = \left(\frac{2}{L}\right)^{2/3} \sin\left(\frac{\pi x}{L}\right) \sin\left(\frac{\pi y}{L}\right) \sin\left(\frac{2\pi z}{L}\right) \quad (155c)$$

Μιας και μπορούμε να έχουμε μετάβαση από τη θε-

μελιώδη στάθμη ($n_x = n_y = n_z = 1$) σε οποιαδήποτε από τις εκφυλισμένες καταστάσεις της πρώτης διεγερμένης στάθμης ($n_x = 2, n_y = n_z = 1$; $n_x = n_z = 1, n_y = 2$; $n_x = n_y = 1, n_z = 2$), θα πρέπει να υπολογίσουμε ξεχωριστά κάθε πλάτος πιθανότητας.

Από τη γενική ανάλυση που κάνανε παραπάνω και συγκεκριμένα από την εξ. (142) μπορούμε να πούμε ότι τα πλάτη πιθανότητας για το παράδειγμά μας θα δίνονται από τη σχέση

$$a_{n_x, n_y, n_z}(t) = -\frac{i}{\hbar} \int_0^t H_{n_x, n_y, n_z; 1, 1, 1}^{(1)}(t') e^{i\omega t'} dt' \quad (156)$$

$$\text{όπου } \omega = \frac{E_{2,1,1}(1,2,1 \text{ ή } 1,1,2) - E_{1,1,1}}{\hbar} = \frac{3\hbar^2\pi^2}{\hbar mL^2} - \frac{3\hbar^2\pi^2}{\hbar 2mL^2} = \frac{3\hbar\pi^2}{2mL^2}$$

$$\text{καθώς και } H_{n_x, n_y, n_z; 1, 1, 1}^{(1)}(t) = \int_0^L dx \int_0^L dy \int_0^L dz \Psi_{n_x, n_y, n_z}(x, y, z) \cdot$$

$$(-qz \epsilon_0 e^{-t/\tau}) \Psi_{1,1,1}(x, y, z) = -q \epsilon_0 e^{-t/\tau} \int_0^L dx \int_0^L dy \int_0^L dz \Psi_{n_x, n_y, n_z}(x, y, z)$$

$$\cdot z \cdot \Psi_{1,1,1}(x, y, z).$$

Επομένως, για τη μετάβαση $1,1,1 \rightarrow 2,1,1$ θα έχουμε

$$H_{2,1,1;1,1,1}^{(1)}(t) = -q \epsilon_0 e^{-t/\tau} \int_0^L \frac{2}{L} \sin\left(\frac{2\pi x}{L}\right) \sin\left(\frac{\pi x}{L}\right) \int_0^L \frac{2}{L} \sin^2\left(\frac{\pi y}{L}\right) dy \cdot$$

$$\int_0^L \frac{2}{L} \sin^2\left(\frac{\pi z}{L}\right) z dz \Rightarrow$$

$$\Rightarrow H_{2,1,1;1,1,1}^{(1)}(t) = 0$$

το οποίο προκύπτει λόγω της ορθογωνιότητας των κυμα-
τοσυναρτήσεων του μονοδιάστατου απείροβαθρου πηγα-
δίου, δηλαδή $\int_0^L \frac{2}{L} \sin\left(\frac{n\pi x}{L}\right) \sin\left(\frac{m\pi x}{L}\right) dx = 0$ για $n \neq m$.

Ομοίως, για τη μετάβαση $1,1,1 \rightarrow 1,2,1$ θα είναι

$$H_{1,2,1;1,1,1}^{(1)}(t) = -q \epsilon_0 e^{-t/\tau} \int_0^L \frac{2}{L} \sin^2\left(\frac{\pi x}{L}\right) dx \int_0^L \frac{2}{L} \sin\left(\frac{2\pi y}{L}\right) \sin\left(\frac{\pi y}{L}\right) dy \cdot$$

$$\int_0^L \frac{2}{L} \sin^2\left(\frac{\pi z}{L}\right) z dz \Rightarrow$$

$$\Rightarrow H_{1,2,1;1,1,1}^{(1)}(t) = 0$$

πιασ και $\int_0^L \frac{2}{L} \sin\left(\frac{2\pi y}{L}\right) \sin\left(\frac{\pi y}{L}\right) dy = 0$, και πάλι λόγω ορθογω-
νιότητας. Όπως, για τη μετάβαση $1,1,1 \rightarrow 1,1,2$ θα είναι

(58)

$$H_{1,1,2;1,1,1}^{(4)}(t) = -q \epsilon_0 e^{-t/\tau} \int_0^L \frac{2}{L} \sin^2\left(\frac{\pi x}{L}\right) dx \int_0^L \frac{2}{L} \sin^2\left(\frac{\pi y}{L}\right) dy \int_0^L \frac{2}{L} \cdot$$

$$\cdot \sin\left(\frac{2\pi z}{L}\right) \sin\left(\frac{\pi z}{L}\right) z dz$$

Εδώ, από την κανονικοποίηση των κυματοσυναρτήσεων έχουμε $\int_0^L \frac{2}{L} \sin^2\left(\frac{\pi x}{L}\right) dx = \int_0^L \frac{2}{L} \sin^2\left(\frac{\pi y}{L}\right) dy = 1$. Για το τρίτο

$$\text{ολοκλήρωμα ισχύει } \int_0^L \frac{2}{L} z \sin\left(\frac{2\pi z}{L}\right) \sin\left(\frac{\pi z}{L}\right) dz = -\frac{16L}{9\pi^2}$$

(αποδείξτε το χρησιμοποιώντας αρχικά τη σχέση $\sin a \cdot \sin b = \frac{\cos(a-b) - \cos(a+b)}{2}$ και στη συνέχεια κάνετε ολοκλήρωση

κατά παράγοντες). Έτσι λοιπόν, θα είναι

$$H_{1,1,2;1,1,1}^{(4)}(t) = \frac{16q\epsilon_0 L}{9\pi^2} e^{-t/\tau} \quad (157)$$

και αντικαθιστώντας στην εξ. (156) παίρνοντας το όριο $t \rightarrow \infty$

βρίσκουμε τελικά ότι

$$a_{1,1,2}(t \rightarrow \infty) = -\frac{i}{\hbar} \frac{16q\epsilon_0 L}{9\pi^2} \int_0^{\infty} e^{(i\omega - \frac{1}{\tau})t'} dt' \Rightarrow$$

$$\Rightarrow a_{1,1,2}(t \rightarrow \infty) = -\frac{i}{\hbar} \frac{16 q \epsilon_0 L}{9 \pi^2} \frac{1}{i\omega - \frac{1}{\tau}} \underbrace{e^{(i\omega - \frac{1}{\tau})t}}_{=-1} \Big|_0^\infty \Rightarrow$$

$$\Rightarrow a_{1,1,2}(t \rightarrow \infty) = \frac{i}{\hbar} \frac{16 q \epsilon_0 L}{9 \pi^2} \frac{1}{i\omega - \frac{1}{\tau}} \quad (158)$$

Επομένως, η πιθανότητα μετάβασης θα είναι

$$P_{1,1,2}(t \rightarrow \infty) = |a_{1,1,2}(t \rightarrow \infty)|^2 = \frac{256 \cdot q^2 \epsilon_0^2 L^2}{81 \pi^4 \hbar^2} \frac{\tau^2}{\omega^2 \tau^2 + 1} \quad (159)$$

Παράδειγμα 3:

Τώρα, θα μελετήσουμε την περίπτωση της ταλανωτικής διαταραχής. Όπως είδαμε στα αρχικά, καθώς και όπως γνωρίζουμε από τον Ηλεκτρομαγνητισμό, το ηλεκτρικό μονόχρωματικό πεδίο στον ελεύθερο χώρο γράφεται

$$\vec{E}(\vec{r}, t) = \hat{e} E_0 e^{-i\omega t} e^{i\vec{k} \cdot \vec{r}} + \hat{e} E_0^* e^{i\omega t} e^{-i\vec{k} \cdot \vec{r}} \quad (160)$$

όπου \hat{e} το μοναδιαίο διάνυσμα κατά τη διεύθυνση του ηλεκτρικού πεδίου. Μιας και στην περίπτωση που θέλουμε να μελετήσουμε δεν μας ενδιαφέρει η χωρική εξάρτηση, και έτσι μπορούμε να γράψουμε το ηλεκτρικό πεδίο ως

$$\vec{E}(t) \propto e^{-i\omega t} + e^{i\omega t} = 2 \cos(\omega t).$$

Για το λόγο αυτό, θα θεωρήσουμε στο παράδειγμα αυτό τη διαταραχή για $t \geq 0$

$$H^{(1)}(t) = 2 H^{(1)} \cos(\omega t) = H^{(1)} (e^{i\omega t} + e^{-i\omega t}) \quad (161)$$

όπου $H^{(1)}$ ανεξάρτητο του χρόνου. Αντικαθιστώντας στην

εξ. (142) παίρνουμε ότι

$$a_f = -\frac{i}{\hbar} \int_0^t H_{fi}^{(1)} (e^{i\omega t'} + e^{-i\omega t'}) e^{i\omega_f t'} dt' \Rightarrow$$

$$\Rightarrow a_f = -\frac{i}{\hbar} H_{fi}^{(1)} \int_0^t [e^{i(\omega_f + \omega)t'} + e^{i(\omega_f - \omega)t'}] dt' \Rightarrow$$

$$\Rightarrow a_f = -\frac{i}{\hbar} H_{fi}^{(1)} \left[\frac{e^{i(\omega_f + \omega)t} - 1}{i(\omega_f + \omega)} + \frac{e^{i(\omega_f - \omega)t} - 1}{i(\omega_f - \omega)} \right] \quad (162)$$

Τα εκθετικά της εξ. (162) παίρνουν απλώς της τάξης της πο-
νάδας μιας και όπως γνωρίζουμε $e^{ix} = \cos x + i \sin x$. Για την
περίπτωση όπου έχουμε σχεδόν συντονισμό, δηλαδή

$\omega \approx \omega_f$, συμπεραίνουμε ότι ο δεύτερος όρος στην εξ. (162)

είναι πολύ μεγαλύτερος από τον πρώτο μιας και ισχύει ότι

$$\frac{1}{\omega_{fi} + \omega} \ll \frac{1}{\omega_{fi} - \omega}. \text{ Με άλλα λόγια, ο πρώτος όρος της εξ.}$$

(162) παραγματοποιεί πολύ περισσότερες ταλαντώσεις εντός ενός συγκεκριμένου χρονικού διαστήματος σε σχέση με τον δεύτερο όρο και για αυτό λήγουμε ότι ο πρώτος όρος είναι ένας fast oscillating term τον οποίο μπορούμε να αγνοήσουμε. Η προσέγγιση αυτή που παραγματοποιούμε αγνοώντας τον fast oscillating term ονομάζεται προσέγγιση περυστρέφόμενου κύματος ή αλλιώς rotating wave approximation (RWA). Η προσέγγιση αυτή είναι ευρέως διαδεδομένη στην Κβαντική Οπτική μιας και τις περισσότερες φορές ασχολούμαστε με ασθενείς αλληλίες ύλης-φωτός. Επομένως, χρησιμοποιώντας την προσέγγιση RWA η εξ.

(162) γράφεται

$$a_f \approx \frac{H_{fi}^{(1)}}{\hbar} \frac{1 - e^{i(\omega_{fi} - \omega)t}}{\omega_{fi} - \omega} = \frac{H_{fi}^{(1)}}{\hbar} e^{i(\omega_{fi} - \omega)t/2} \frac{e^{-i(\omega_{fi} - \omega)t/2} - e^{i(\omega_{fi} - \omega)t/2}}{\omega_{fi} - \omega}$$

$$\Rightarrow a_f = - \frac{2i H_{fi}^{(1)}}{\hbar} e^{i(\omega_{fi}-\omega)t/2} \cdot \frac{\sin [(\omega_{fi}-\omega)t/2]}{\omega_{fi}-\omega} \quad (163)$$

Άρα, η πιθανότητα το σύστημα μας να βρεθεί στην κατάσταση f σε χρόνο t θα είναι

$$P_f(t) = |a_f(t)|^2 = \frac{4 |V_{fi}|^2}{(\omega_{fi}-\omega)^2} \sin^2 \left[\frac{(\omega_{fi}-\omega)t}{2} \right] \quad (164)$$

όπου θέσαμε $V_{fi} = \frac{H_{fi}^{(1)}}{\hbar}$. Για την περεταιρω περίπτωση της

εξ. (164) πολλαπλασιάζουμε και διαιρούμε με t^2 , όπως βρίσκουμε ότι

$$P_f(t) = |V_{fi}|^2 t^2 \cdot \frac{\sin^2 [(\omega_{fi}-\omega)t/2]}{[(\omega_{fi}-\omega)t/2]^2} = |V_{fi}|^2 t^2 \frac{\sin^2 x}{x^2} \quad (165)$$

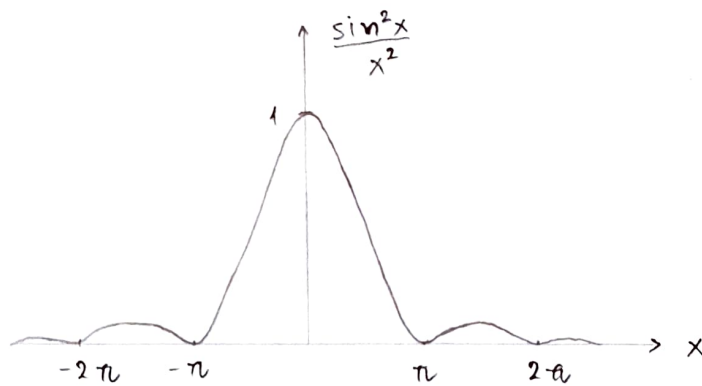
όπου $x = \frac{(\omega_{fi}-\omega)t}{2}$. Σημειώνουμε ότι για την περίπτωση

όπου $\omega_{fi} \rightarrow \omega \Rightarrow x \rightarrow 0$. Μιας και για $x \rightarrow 0$ η συνάρτηση

$\frac{\sin x}{x} \rightarrow 1$, η εξ. (165) γίνεται

$$\lim_{\omega \rightarrow \omega_{fi}} P_f(t) \approx |V_{fi}|^2 t^2 \quad (166)$$

η οποία ισχύει για $|V_{fi}|^2 t^2 \ll 1$ αφού έχει προκύψει από τη χρονικά εξαρτημένη θεωρία διαταραχών πρώτης τάξης. Τέλος, στο παρακάτω σχήμα απεικονίζουμε τη συνάρτηση $\frac{\sin^2 x}{x^2}$ για να έχουμε μια εικόνα για το πώς εξελίσσεται η $P_f(t)$ με το χρόνο



Παράδειγμα 4:

Σαν ένα τελευταίο παράδειγμα στην ενότητα αυτή θα μελετήσουμε τη μετάβαση προς το συνεχές και θα καταλήξουμε στο χρυσό κανόνα του Fermi (Fermi golden rule ή FGR).

Έως τώρα, έχουμε θεωρήσει ότι το υπό μελέτη σύστη-

ρά μας μεταβαίνει από μια αρχική κατάσταση $|i\rangle$ σε μια τελική κατάσταση $|f\rangle$ σε κάποιο πεπερασμένο χρονικό διάστημα. Τι θα αλλάξει όμως αν θεωρήσουμε ότι το σύστημά μας δεν μεταβαίνει σε μια τελική κατάσταση $|f\rangle$, αλλά απειθίως σε ένα συνεχές καταστάσεων;

Κατ' αρχήν να σημειώσουμε ότι το συνεχές καταστάσεων χαρακτηρίζεται από την πυκνότητα καταστάσεων $\rho(E)$, η οποία περιέχει την πληροφορία για το πώς κατανέμονται οι καταστάσεις στην περίπτωση αυτή. Εφόσον, τώρα, το σύστημά μας μπορεί να μεταβεί σε οποιαδήποτε από τις καταστάσεις οι οποίες περιγράφονται από την πυκνότητα καταστάσεων $\rho(E)$, η συνολική πιθανότητα μετάβασης δίνεται από τη σχέση

$$P(t) = \int_{\substack{\text{όλες οι} \\ \text{τελικές ενέργειες}}} P_f(t) \rho(E) dE \quad (16F)$$

Αντικαθιστώντας λοιπόν στην εξ. (16F) την έκφραση για το $P_f(t)$ που βρήκαμε στο προηγούμενο παράδειγμα (σημειώ-

ώνουμε ότι $\omega_{fi} = \frac{E}{\hbar}$, έχουμε ότι

$$P(t) = \int_{\substack{\text{όλες οι ε-} \\ \text{δυναμίες}}} dE \cdot \frac{4|V_{fi}|^2}{(E/\hbar - \omega)^2} \sin^2 \left[\frac{(E/\hbar - \omega)t}{2} \right] \rho(E) \quad (168)$$

Για την παροπώνω μετόβαση που περιγράφουμε έχουμε

$$E_i + \hbar\omega = E_f \Rightarrow \omega = \frac{E_f - E_i}{\hbar}. \text{ Επομένως, αφού θεωρούμε } \omega \approx \omega_{fi}$$

μπορούμε να προσεγγίσουμε το $\rho(E)$ με το $\rho(E_{fi})$, καθώς

επίσης να θεωρήσουμε ότι το $|V_{fi}|^2$ αλλάζει πολύ αργά

με την ενέργεια (σε σχέση με την συνάρτηση του ημιτό-

νου) και το υπολογίζουμε και αυτό για $E_f = \hbar\omega + E_i$. Συμ-

φωνα με όλα τα παραπάνω έχουμε ότι

$$P(t) \approx |V_{fi}|^2 \rho(E_{fi}) \int_{\substack{\text{όλες οι ε-} \\ \text{δυναμίες}}} dE \frac{4 \sin^2[(E/\hbar - \omega)t/2]}{(E/\hbar - \omega)^2}$$

Το παραπάνω ολοκλήρωμα για τις τελικές ενέργειες εκτεί-

νεται από 0 έως $+\infty$. Τώρα, κάνουμε αλλαγή μεταβλητής

$$\text{και ορίζουμε } x = \frac{1}{2} \left(\frac{E}{\hbar} - \omega \right) t \Rightarrow \frac{2x}{t} = \frac{E}{\hbar} - \omega \Rightarrow E = \hbar \left(\frac{2x}{t} + \omega \right)$$

(62)

$\Rightarrow dE = \frac{2\hbar}{t} dx$. Επιπλέον, αν $E \rightarrow 0$ τότε $x \rightarrow -\omega t/2$ και

αν $E \rightarrow +\infty$ τότε και $x \rightarrow +\infty$. Εφαρμόζοντας αυτή την αλλαγή μεταβλητής και επεκτείνοντας το κάτω όριο στο $-\infty$ παίρνουμε τελικά

$$P(t) \approx |V_{fi}|^2 \rho(E_{fi}) \int_{-\infty}^{+\infty} \frac{2\hbar}{t} dx \frac{\sin^2 x}{x^2} t^2 \Rightarrow$$

$$\Rightarrow P(t) \approx 2\hbar |V_{fi}|^2 \rho(E_{fi}) t \int_{-\infty}^{+\infty} \frac{\sin^2 x}{x^2} dx \Rightarrow$$

$$\Rightarrow P(t) \approx 2\pi\hbar |V_{fi}|^2 \rho(E_{fi}) t \quad (169)$$

όπου χρησιμοποιήσαμε το γεγονός ότι $\int_{-\infty}^{+\infty} \frac{\sin^2 x}{x^2} dx = \pi$.

Έτσι λοιπόν, ο ρυθμός μετάβασης του συστήματός μας προς ένα συνεχές με πυκνότητα καταστάσεων $\rho(E)$ θα δίνεται ως ο ρυθμός μετάβασης της εξ. (169), δηλαδή

$$W = \frac{dP(t)}{dt} = 2\pi\hbar |V_{fi}|^2 \rho(E_{fi}) = 2\pi \frac{|H_{fi}^{(1)}|^2}{\hbar} \rho(E_{fi}) \quad (170)$$

Η εγ. (170) είναι ο χρυσός κανόνας του Fermi (FGR).

Ο FGR είναι πολύ σημαντικός στην κβαντική Οπτική μιας και οι περισσότερες προσεγγίσεις που χρησιμοποιήσαμε για να τον εξαγάγουμε εφαρμόζονται σε πλθώρα συστημάτων και φαινομένων, όπως π.χ. το φωτοηλεκτρικό φαινόμενο, ο νόμος ακενοβολίας του Planck κ.α. (Meystre και Sargent, Eq. 3.3).

Τέλος, σημειώσει ότι για την εξαγωγή του FGR χρησιμοποιήσαμε το γεγονός ότι $E_f = E_i + \hbar\omega$ (εξαναγκασμένη απορρόφηση ή αλλιώς stimulated absorption).

Στο ίδιο αποτέλεσμα θα καταλήγαμε και εάν παίρναμε

$E_f = E_i - \hbar\omega$ (εξαναγκασμένη εκπομπή ή stimulated emission) μιας και $|V_{fi}|^2 = |V_{if}|^2$. Έτσι με αυτό τον τρόπο

αποδεικνύεται αυστηρά ότι ο ρυθμός Einstein για την εξαναγκασμένη εκπομπή ισοδύναμο με εκείνον για την εξαναγκασμένη απορρόφηση. Αν θέλουμε τώρα να λάβουμε

υπόφω και το ρυθμό αυθόρρητης εκπομπής ο οποίος προκύπτει από τη θεωρία του Einstein, τότε θα πρέπει να φύγουμε από την ημικλασική προσέγγιση, όπου θεωρούμε κβαντωμένη την ύλη και κλασικό το Η/Μ πεδίο, και θα πρέπει να μεταβούμε στην κβαντική προσέγγιση, όπου θεωρούμε κβαντισμένη την ύλη αλλά και το Η/Μ πεδίο (θα το δούμε σε επόμενο παράγραφο).

- Μορφή της αλληλεπίδρασης φωτός-ύλης και η διπολική προσέγγιση

Ξεκινάμε και εδώ την ανάλυσή μας θεωρώντας Η/Μ πεδίο της μορφής

$$\vec{E}(\vec{r}, t) = \hat{\epsilon} E_0 e^{-i\omega t} e^{i\vec{k} \cdot \vec{r}} + \hat{\epsilon} E_0^* e^{i\omega t} e^{-i\vec{k} \cdot \vec{r}}$$

όπου προφανώς το $\vec{E}(\vec{r}, t)$ είναι ένα κλασικό πεδίο με διεύθυνση κατά το μοναδιαίο διάνυσμα $\hat{\epsilon}$ και κυματάνητρο $k = \frac{2\pi}{\lambda}$. Το μήκος κύματος για ενέργεια διεγερσης 1eV